



UNIVERSIDADE ESTADUAL DE MARINGÁ  
DEPARTAMENTO DE ENGENHARIA QUÍMICA  
ENGENHARIA ELÉTRICA

MATEUS FUGA OSMARIN

DESENVOLVIMENTO DE UMA PLATAFORMA INTERATIVA DE  
PROCESSAMENTO DE SINAIS

TRABALHO DE CONCLUSÃO DE CURSO

MARINGÁ  
2021



**MATEUS FUGA OSMARIN**

**DESENVOLVIMENTO DE UMA PLATAFORMA INTERATIVA DE  
PROCESSAMENTO DE SINAIS**

Trabalho de Conclusão de Curso apresentado ao Departamento de Engenharia Química da Universidade Estadual de Maringá, como requisito parcial para a obtenção do título de Engenheiro Eletricista.

Orientador: Prof. Rafael Krummenauer

**Maringá  
2021**

MATEUS FUGA OSMARIN

**DESENVOLVIMENTO DE UMA PLATAFORMA INTERATIVA DE  
PROCESSAMENTO DE SINAIS**

Relatório final apresentado à Universidade Estadual de Maringá como parte das exigências para a obtenção do título de Engenheiro Eletricista.

Maringá, 07 de maio de 2021.

BANCA EXAMINADORA

---

Prof. Rafael Krummenauer  
Orientador

---

Prof. Rubens Zenko Sakiyama  
Membro titular

---

Emilio Soitsi Zukeram Júnior  
Membro titular



# AGRADECIMENTOS

Agradeço especialmente ao meu orientador, Prof. Rafael Krummenauer, que muito me inspirou durante todo o curso, como professor, como profissional, como pessoa e como amigo. Agradeço a todos os professores que me ensinaram, guiaram e me trouxeram até aqui. O tempo é o nosso recurso mais valioso, e vocês o usam para mudar as vidas das pessoas que tocam. Agradeço também ao Prof. Rubens pelas aulas valiosas e muito bem humoradas, e ao amigo Emilio por aceitar fazer parte desse momento.

Agradeço aos amigos que me acompanharam nesse trajetória, em especial ao Alan, Alex, Marlon e Rodolpho, por todo conhecimento compartilhado, todo companheirismo e todos os momentos que vivemos juntos.

Agradeço à minha namorada, Fernanda, pelo amor, compreensão, todas as comidas gostosas e toda ajuda em organizar minha cabeça quando tudo parecia perdido.

Agradeço ao Fernando, por toda sabedoria, todas as conversas e discussões existenciais. Você é uma inspiração para mim e muito de mim vem de você. Agradeço também à Thalyta pela disponibilidade e toda ajuda na revisão da monografia.

Agradeço aos meus amigos Gustavinho, Paula e Rebeca, que mesmo distantes se fazem presentes e me dão forças para continuar. Agradeço à Larissa e ao Maicon pelo companheirismo, pelas risadas e todos os stroganoffs de queijo.

Agradeço à Lidi por toda a ajuda na busca por entender melhor por que e quem eu sou.

Agradeço ao meu irmão André e sua esposa Natália, pelo apoio, carinho e todos os momentos, até mesmo os difíceis. Vocês são muito importantes para mim.

Agradeço à minha irmãzinha Mariana, que me dá luz, esperança e me mantém são sempre que preciso. Você é um presente na vida de toda a família.

Agradeço à Kaum e a Luluzinha, por todos os momentos divertidos e ensinamentos passados.

Agradeço à Vó Bete por todo amor, toda força, todas as séries e todos os açaís. Você é uma companheira para a vida, e não sei o que seria sem você.

Agradeço aos meus pais, por todo trabalho e amor incondicional, e por me darem a oportunidade de chegar até aqui. Em especial, agradeço à minha mãe por estar sempre ao meu lado, mesmo quando parecemos estar em fusos horários diferentes. Você é uma verdadeira amiga e uma mãe incrível.

Enfim, agradeço a todos que fizeram parte da minha vida (todos mesmo), pois são todos um pedaço da minha história e me tornaram a pessoa que eu sou.

Tudo muda, mas nada realmente se  
perde.

---

Neil Gaiman

## Resumo

OSMARIN, Mateus F. **Desenvolvimento de uma Plataforma Interativa de Processamento de Sinais**. 2021. 39 f. Trabalho de Conclusão de Curso (Graduação) – Engenharia Elétrica. Universidade Estadual de Maringá. Maringá, 2021.

Este trabalho trata do desenvolvimento de uma plataforma interativa de processamento de sinais. A partir de uma interface gráfica, é possível realizar o projeto de filtros digitais tanto do tipo IIR quanto FIR, utilizando técnicas clássicas da literatura tais quais o método Least Squares e o algoritmo de Remez, bem como os filtros de Butterworth, Chebyshev, Cauer e Bessel. O sistema busca endereçar a dificuldade de visualização no aprendizado do tópico de processamento de sinais, fazendo-se uma ferramenta didática alternativa. A plataforma construída constitui-se de um software livre que conta com uma interface gráfica amigável para o projeto de filtros digitais.

**Palavras-chave:** Processamento de sinais. Projeto de filtros digitais. Visualização. Python.

## **Abstract**

OSMARIN, Mateus F. **Development of a Signal Processing Interactive Platform.** 2021. 39 p. Undergraduate thesis - Electrical Engineering. Universidade Estadual de Maringá. Maringá, 2021.

This paper addresses the development of an interactive signal processing platform. By means of a graphical user interface, it is possible to design both IIR and FIR filters, using classic techniques such as the Least Squares method and the Remez Exchange algorithm, as well as the well known Butterworth, Chebyshev, Cauer and Bessel filters. The system aims to deal with the visualization issues in the learning of the signal processing topic, being an alternative didactic tool. The built platform is an open-source software bringing a friendly graphical user interface to the design of digital filters.

**Keywords:** Signal processing. Digital filter design. Visualization. Python.



# Lista de Figuras

3.1	Sinal contínuo no tempo. . . . .	6
3.2	Sinal discreto no tempo. . . . .	7
3.3	Expansão em série de Fourier do retângulo unitário. . . . .	9
3.4	Transformada de Fourier do retângulo unitário. . . . .	10
3.5	Transformada de tempo discreto de Fourier do retângulo unitário. . . . .	11
3.6	Transformada discreta de Fourier do retângulo unitário. . . . .	12
3.7	Transformada de Laplace do retângulo unitário. . . . .	13
5.1	Tela inicial da ferramenta desenvolvida. . . . .	20
5.2	Especificação de um filtro passa-baixas usando Least Squares. . . . .	22
5.3	Resultados do filtro passa-baixas utilizando Least Squares. . . . .	23
5.4	Aplicação do filtro passa-baixas a dois tons. . . . .	24
5.5	Especificação de um filtro passa-faixa usando o algoritmo de Remez. . . . .	25
5.6	Resultados do filtro passa-faixa utilizando o algoritmo de Remez. . . . .	26
5.7	Aplicação do filtro passa-faixa a três tons. . . . .	27
5.8	Especificação de um filtro passa-altas de Butterworth. . . . .	28
5.9	Resultados do filtro passa-altas de Butterworth. . . . .	29
5.10	Aplicação do filtro passa-altas a dois tons. . . . .	30
5.11	Especificação de um filtro rejeita-faixa de Cauer. . . . .	31
5.12	Resultados do filtro rejeita-faixa de Cauer. . . . .	32
5.13	Aplicação do filtro rejeita-faixa a três tons. . . . .	33

# Sumário

<b>1</b>	<b>Introdução</b>	<b>3</b>
<b>2</b>	<b>Objetivos</b>	<b>4</b>
2.1	Objetivos gerais . . . . .	4
2.2	Objetivos específicos . . . . .	4
<b>3</b>	<b>Referenciais teóricos</b>	<b>5</b>
3.1	Sinais . . . . .	5
3.2	Transformadas de Fourier, Laplace e Z . . . . .	8
3.3	Convolução . . . . .	14
3.4	Sistemas lineares e invariantes no tempo . . . . .	15
3.5	Filtros digitais . . . . .	17
<b>4</b>	<b>Metodologia</b>	<b>18</b>
<b>5</b>	<b>Resultados</b>	<b>20</b>
5.1	Filtros FIR pelo método Least Squares . . . . .	21
5.2	Filtros FIR pelo algoritmo de Remez . . . . .	24
5.3	Filtros IIR . . . . .	27
<b>6</b>	<b>Conclusão</b>	<b>34</b>
6.1	Trabalhos futuros . . . . .	34
<b>7</b>	<b>Bibliografia</b>	<b>36</b>
<b>8</b>	<b>Apêndice - Demonstração de uso do filtro exportado</b>	<b>38</b>

# Capítulo 1

## Introdução

A disciplina de processamento de sinais é uma área ampla que permite entender e tratar matematicamente sinais, transformando-os segundo as necessidades envolvidas na sua aplicação. Majoritariamente, encontra-se no dia-a-dia sinais contínuos no tempo, como a temperatura de um corpo, o som de um instrumento musical ou a velocidade de um automóvel. Ainda, existem sinais de natureza inerentemente discreta no tempo, como é o caso do preço de uma ação, as temperaturas máxima e mínima diárias de uma cidade ou o número diário de novos casos de COVID-19. Entretanto, é importante ressaltar que mesmo sinais contínuos podem ser tratados de forma discreta por meio de procedimentos de amostragem adequados. Dessa forma, o processamento digital de sinais pode ser aplicado a uma infinidade de casos.

Diante da generalidade envolvida, tem-se também um nível de abstração elevado no formalismo matemático que fundamenta a disciplina, o que resulta em dificuldades no aprendizado dessa importante área. Nesse sentido, a utilização de ferramentas como o Filter Designer do MATLAB® traz benefícios tanto de produtividade para profissionais da área como facilitam o aprendizado para estudantes do tópico, por abordar de forma visual e intuitiva o projeto de filtros digitais. Utilizando esse tipo de ferramenta, pode-se variar parâmetros de projeto e visualizar o comportamento dos sistemas projetados de forma eficiente e facilitada, com gráficos que exibem as principais características do processo. Contudo, o MATLAB® se trata de um software pago e, não obstante, tem-se observado um aumento crescente no interesse pela linguagem de programação Python por estudantes e profissionais da área da ciência e tecnologia, dada a grande quantidade de bibliotecas disponíveis para todo tipo de problemas.

# Capítulo 2

## Objetivos

### 2.1 Objetivos gerais

O presente trabalho tem como objetivo desenvolver um software livre para o projeto de filtros digitais utilizando a linguagem de programação Python, construindo uma interface gráfica amigável em GTK para aumento de produtividade e facilitar o aprendizado na área de processamento de sinais, contando com uma revisão de conceitos importantes a servir como referência para utilização do sistema.

### 2.2 Objetivos específicos

Para alcançar o objetivo geral do trabalho, são propostos os seguintes objetivos específicos:

- possibilitar o projeto de filtros FIR e IIR utilizando técnicas clássicas da literatura (Least Squares, algoritmo de Remez e filtros de Butterworth, Chebyshev, Cauer e Bessel por meio da transformação bilinear);
- permitir a visualização das principais características dos filtros projetados, como resposta em frequência (amplitude e fase), localização de polos e zeros no plano complexo e resposta ao impulso;
- fornecer a opção de exportar o filtro projetado para que seja possível utilizá-lo externamente.

# Capítulo 3

## Referenciais teóricos

### 3.1 Sinais

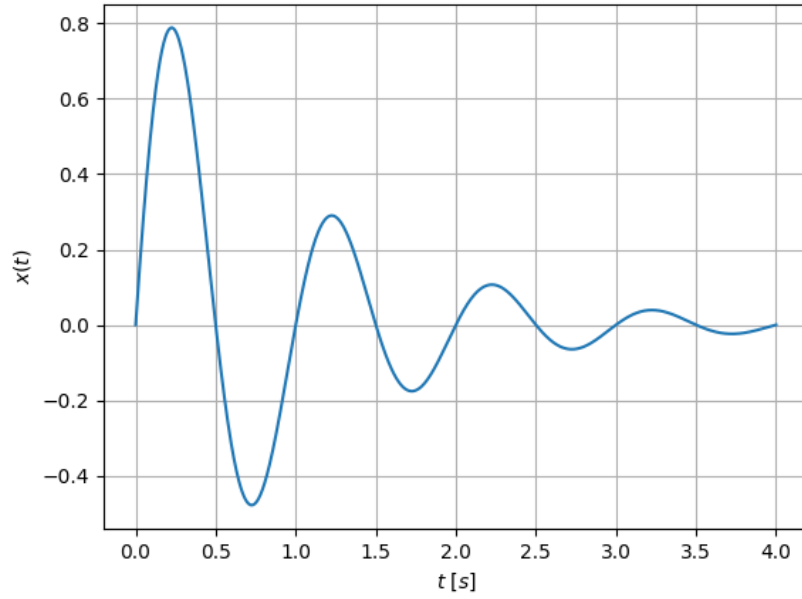
Em essência, um sinal é algo que contém alguma informação, geralmente sobre o estado de um sistema físico [1]. Um sinal pode ser definido matematicamente como uma função de uma ou mais variáveis independentes. A natureza dessas variáveis é diversa, sendo o tempo e o espaço as mais usuais. O som é um exemplo de sinal temporal, enquanto a temperatura em uma sala ao longo do dia se refere a um sinal que é, ao mesmo tempo, espacial e temporal. No decorrer deste trabalho serão considerados sinais de uma variável temporal, mas a teoria é igualmente válida para outros domínios.

Um sinal contínuo no tempo é definido como sendo uma função do tempo definida para todos os instantes,

$$x = x(t), t \in \mathbb{R} \quad (3.1)$$

A Figura 3.1 mostra um exemplo de sinal contínuo no tempo.

Figura 3.1: Sinal contínuo no tempo.



Fonte: Autoria própria.

Um sinal discreto no tempo, por outro lado, é definido como uma sequência numérica:

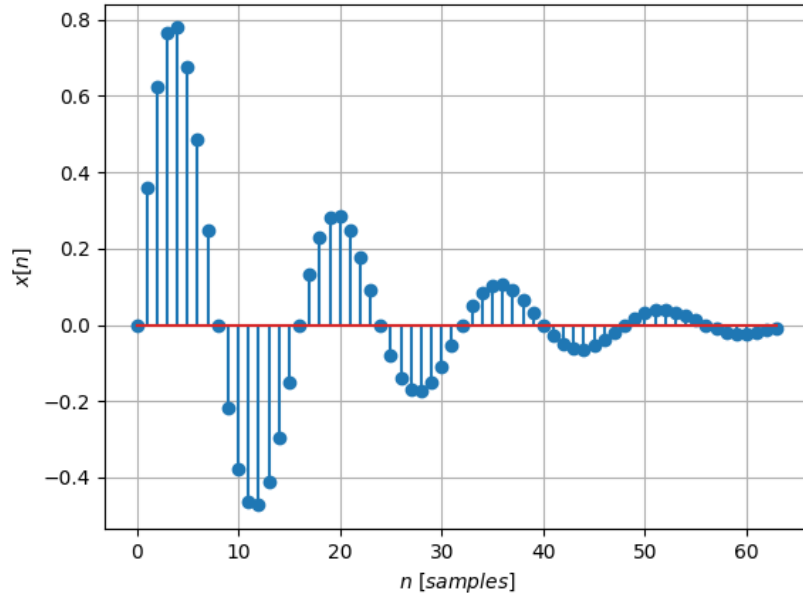
$$x = x[n], n \in \mathbb{Z} \quad (3.2)$$

Para tratar discretamente sinais contínuos no tempo pode-se amostrar o sinal em intervalos de tempo igualmente espaçados:

$$x_d[n] = x_a(nT_s) \quad (3.3)$$

onde  $x_d$  é a versão discretizada do sinal analógico  $x_a$  e  $T_s$  representa o período de amostragem. A Figura 3.2 apresenta o sinal da Figura 3.1 discretizado.

Figura 3.2: Sinal discreto no tempo.



Fonte: Autoria própria.

Para discretizar um sinal adequadamente, sem perda de informação e sem gerar distorção (*aliasing*), o teorema da amostragem de Nyquist-Shannon [2] afirma que a amostragem deve ser feita a uma taxa  $f_s$  com pelo menos o dobro da maior frequência no espectro do sinal  $f_m$ , ou seja,

$$f_s \geq 2f_m \quad (3.4)$$

De forma equivalente, no domínio do tempo tem-se que o período de amostragem  $T_s$  deve ser:

$$T_s \leq \frac{1}{2f_m} \quad (3.5)$$

Dentre os sinais existentes, o impulso unitário ou delta de Dirac é um dos mais importantes. Este sinal é definido, no caso contínuo, como:

$$\delta(t) = \begin{cases} 0 & \text{para } t \neq 0 \\ \infty & \text{para } t = 0 \end{cases} \quad (3.6)$$

satisfazendo a restrição:

$$\int_{-\infty}^{+\infty} \delta(t) dt = 1 \quad (3.7)$$

Uma propriedade notória do impulso unitário é que

$$\int_{-\infty}^{+\infty} f(t) \delta(t - t_0) dt = f(t_0) \quad (3.8)$$

sendo conhecida como propriedade da amostragem.

No caso discreto, o impulso unitário é definido como:

$$\delta[n] = \begin{cases} 0 & \text{para } n \neq 0 \\ 1 & \text{para } n = 0 \end{cases} \quad (3.9)$$

A propriedade da amostragem para o caso discreto é expressa como:

$$\sum_{n=-\infty}^{+\infty} x[n]\delta[n - n_0] = x[n_0] \quad (3.10)$$

## 3.2 Transformadas de Fourier, Laplace e Z

Até aqui, os sinais foram descritos no domínio do tempo. No entanto, é possível representar sinais no domínio da frequência através das transformações conhecidas como transformada de Fourier, transformada de Laplace e transformada Z. O princípio de partida é a série de Fourier, que possibilita a representação de uma função T-periódica como uma série de senos e cossenos ou, equivalentemente, exponenciais complexas.

A série de Fourier é definida como:

$$x_N(t) = \sum_{n=-N}^{+N} c_n e^{i\frac{2\pi}{T}nt} \quad (3.11)$$

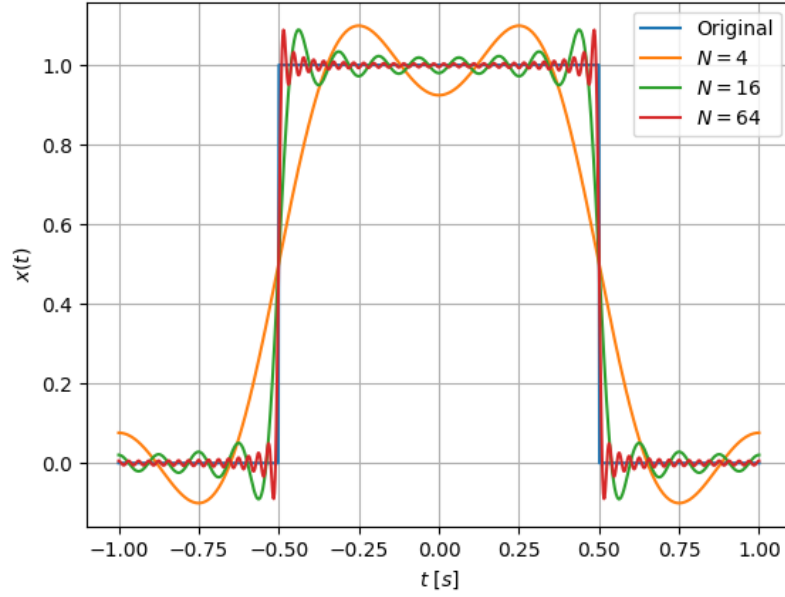
onde

$$c_n = \frac{1}{T} \int_T x(t) e^{-i\frac{2\pi}{T}nt} dt \quad (3.12)$$

são os coeficientes da série, e N é teoricamente infinito. A expansão em série de Fourier do retângulo unitário para diferentes valores de N é apresentada na Figura 3.3.



Figura 3.3: Expansão em série de Fourier do retângulo unitário.



Fonte: Autoria própria.

Para funções não-periódicas generaliza-se a série de Fourier considerando o período como sendo infinito. No caso limite, tem-se:

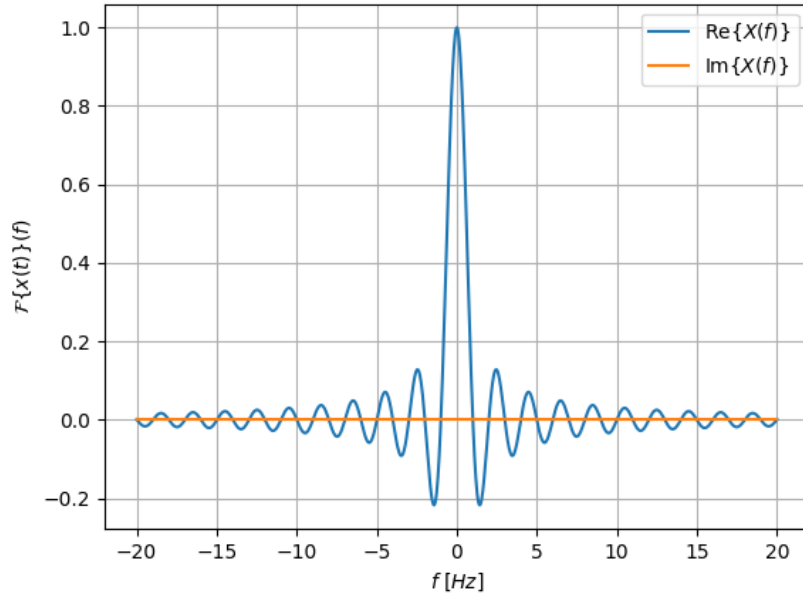
$$x(t) = \int_{-\infty}^{+\infty} \hat{x}(f) e^{i2\pi ft} df \quad (3.13)$$

sendo:

$$\hat{x}(f) = \mathcal{F}\{x(t)\}(f) = \int_{-\infty}^{+\infty} x(t) e^{-i2\pi ft} dt \quad (3.14)$$

e  $\hat{x}(f)$  é conhecida como a transformada de Fourier de  $x(t)$ . Segundo esta definição,  $f$  tem unidade de *hertz*. A transformada de Fourier do retângulo unitário é mostrada na Figura 3.4.

Figura 3.4: Transformada de Fourier do retângulo unitário.



Fonte: Autoria própria.

Ao amostrar um sinal com um período de amostragem  $T$  por meio de um pente de Dirac:

$$\begin{aligned}
 x_T(t) &= x(t) \sum_{n=-\infty}^{+\infty} \delta(t - nT) \\
 &= \sum_{n=-\infty}^{+\infty} x(nT) \delta(t - nT) \\
 &= \sum_{n=-\infty}^{+\infty} x[n] \delta(t - nT)
 \end{aligned} \tag{3.15}$$

e aplicar a transformada de Fourier, tem-se:

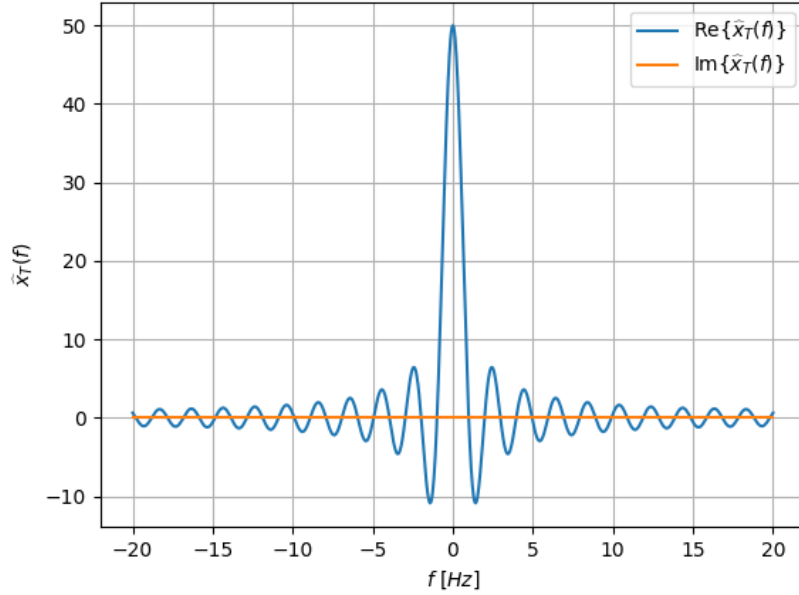
$$\begin{aligned}
 \hat{x}_T(f) &= \int_{-\infty}^{+\infty} \sum_{n=-\infty}^{+\infty} x[n] \delta(t - nT) e^{-i2\pi ft} dt \\
 &= \sum_{n=-\infty}^{\infty} x[n] \int_{-\infty}^{+\infty} \delta(t - nT) e^{-i2\pi ft} dt \\
 &= \sum_{n=-\infty}^{+\infty} x[n] e^{-i2\pi fnT}
 \end{aligned} \tag{3.16}$$

ao que se obtém a chamada transformada de tempo discreto de Fourier. Para obter o sinal original, a transformada de tempo discreto de Fourier inversa é:

$$x[n] = T \int_{1/T} \hat{x}_T(f) e^{i2\pi fnT} df \tag{3.17}$$

A Figura 3.5 mostra a transformada de tempo discreto de Fourier do retângulo unitário.

Figura 3.5: Transformada de tempo discreto de Fourier do retângulo unitário.



Fonte: Autoria própria.

Nesse caso, a discretização acontece no domínio do tempo, mas a frequência ainda é contínua. Discretizando a transformada de tempo discreto de Fourier para  $N$  amostras de um ciclo, obtém-se:

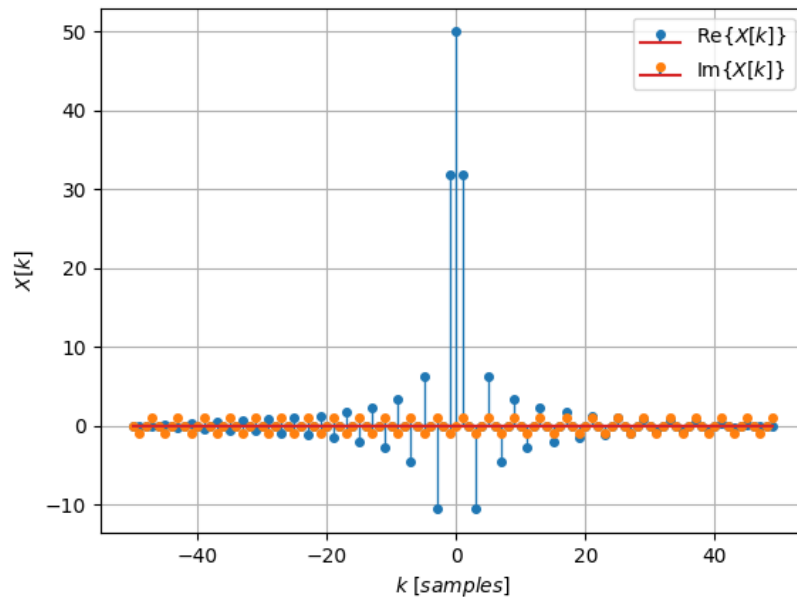
$$\begin{aligned}
 X[k] &= \hat{x}_T\left(\frac{k}{NT}\right) \\
 &= \sum_{n=-\infty}^{+\infty} x[n]e^{-i2\pi\frac{k}{NT}nT} \\
 &= \sum_{n=-\infty}^{+\infty} x[n]e^{-i2\pi\frac{k}{N}n}
 \end{aligned} \tag{3.18}$$

o que define a transformada discreta de Fourier. Para obter o sinal original, a transformada discreta de Fourier inversa é:

$$x[n] = \frac{1}{N} \sum_{k=-\infty}^{+\infty} X[k]e^{i2\pi\frac{k}{N}n} \tag{3.19}$$

A Figura 3.6 mostra a transformada discreta de Fourier do retângulo unitário.

Figura 3.6: Transformada discreta de Fourier do retângulo unitário.



Fonte: Autoria própria.

A transformada de Fourier pode ainda ser generalizada ao se considerar uma frequência complexa. O resultado é a transformada de Laplace:

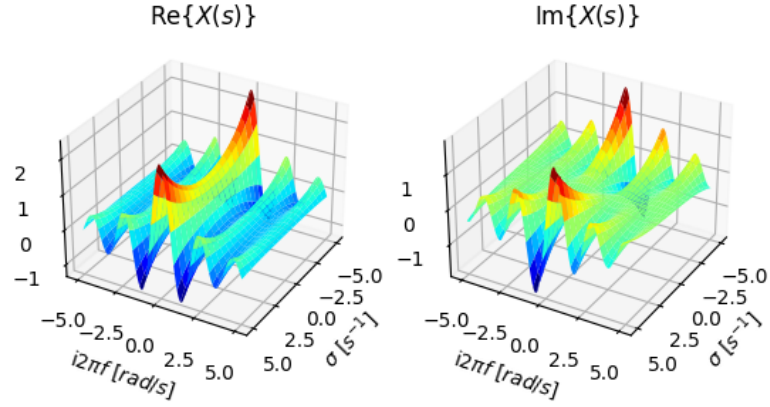
$$X(s) = \mathcal{L}\{x(t)\}(s) = \int_{-\infty}^{+\infty} x(t)e^{-st} dt \quad (3.20)$$

sendo:

$$s = \sigma + i\omega = \sigma + i2\pi f \quad (3.21)$$

A Figura 3.7 mostra a transformada de Laplace do retângulo unitário.

Figura 3.7: Transformada de Laplace do retângulo unitário.



Fonte: Autoria própria.

Nota-se também que a transformada de Laplace pode ser vista como sendo a transformada de Fourier de  $x(t)e^{-\sigma t}$ . Para recuperar o sinal original, a transformada de Laplace inversa é:

$$x(t) = \mathcal{L}^{-1}\{X(s)\}(t) = \frac{1}{i2\pi} \lim_{T \rightarrow \infty} \int_{\gamma-iT}^{\gamma+iT} X(s)e^{st} ds \quad (3.22)$$

onde  $\gamma$  é um número real tal que o caminho de integração esteja na região de convergência de  $F(s)$ .

Novamente, amostrando um sinal por meio de um pente de Dirac (3.15) e aplicando a transformada de Laplace, tem-se:

$$\begin{aligned} X_T(s) &= \int_{-\infty}^{+\infty} \sum_{n=-\infty}^{+\infty} x[n]\delta(t - nT)e^{-st} dt \\ &= \sum_{n=-\infty}^{+\infty} x[n] \int_{-\infty}^{+\infty} \delta(t - nT)e^{-st} dt \\ &= \sum_{n=-\infty}^{+\infty} x[n]e^{-snT} \end{aligned} \quad (3.23)$$

da qual, ao tomar  $z = e^{sT}$ , obtém-se a transformada Z de um sinal discreto:

$$X(z) = \mathcal{Z}\{x[n]\}(z) = \sum_{n=-\infty}^{+\infty} x[n]z^{-n}, z \in \mathbb{C} \quad (3.24)$$

Para recuperar o sinal original, a transformada Z inversa é:

$$x[n] = \mathcal{Z}^{-1}\{X(z)\}[n] = \frac{1}{i2\pi} \oint_{\mathcal{C}} X(z)z^{n-1}dz \quad (3.25)$$

onde  $\mathcal{C}$  é um caminho fechado percorrido no sentido anti-horário, contendo a origem e inteiramente na região de convergência de  $X(z)$ .

### 3.3 Convolução

Dados dois sinais, é possível realizar um conjunto de operações sobre os mesmos. Dentre estas, tem-se as bem conhecidas operações de soma, subtração, multiplicação, divisão, derivação e integração. Em processamento de sinais, uma operação conhecida como convolução é muito utilizada, sendo definida por:

$$(f * g)(t) = \int_{-\infty}^{+\infty} f(\tau)g(t - \tau)d\tau \quad (3.26)$$

para o caso contínuo e

$$(f * g)[n] = \sum_{k=-\infty}^{+\infty} f[k]g[n - k] \quad (3.27)$$

para o caso discreto.

Uma propriedade importante da convolução é:

$$x(t) * \delta(t) = \int_{-\infty}^{+\infty} x(\tau)\delta(t - \tau)d\tau = x(t) \quad (3.28)$$

para o caso contínuo e

$$x[n] * \delta[n] = \sum_{k=-\infty}^{+\infty} x[k]\delta[n - k] = x[n] \quad (3.29)$$

para o caso discreto. Esta propriedade exprime o fato de que o impulso unitário corresponde a uma identidade para a convolução.

Ainda, outra propriedade importante da convolução está em sua relação com as transformadas de Fourier, Laplace e Z. Tomando a transformada de Laplace como exemplo,

tem-se:

$$\begin{aligned}
\mathcal{L}\{(f * g)(t)\}(s) &= \int_{t=-\infty}^{+\infty} \left[ \int_{\tau=-\infty}^{+\infty} f(\tau)g(t-\tau)d\tau \right] e^{-st}dt \\
&= \int_{\tau=-\infty}^{+\infty} \int_{t=-\infty}^{+\infty} f(\tau)g(t-\tau)e^{-st}dtd\tau \\
&= \int_{\tau=-\infty}^{+\infty} f(\tau) \int_{t=-\infty}^{+\infty} g(t-\tau)e^{-st}dtd\tau \\
&= \int_{\tau=-\infty}^{+\infty} f(\tau) \int_{u=-\infty}^{+\infty} g(u)e^{-s(u+\tau)}dud\tau \\
&= \int_{\tau=-\infty}^{+\infty} f(\tau)e^{-s\tau}d\tau \int_{u=-\infty}^{+\infty} g(u)e^{-su}du \\
&= \mathcal{L}\{f(t)\}(s)\mathcal{L}\{g(t)\}(s)
\end{aligned} \tag{3.30}$$

ou seja, no domínio da frequência a operação de convolução corresponde à multiplicação. A equação 3.30 é conhecida como teorema do convolução.

### 3.4 Sistemas lineares e invariantes no tempo

Um sistema é essencialmente algo que mapeia um sinal de entrada em um sinal de saída [3], ou seja:

$$y(t) = \mathcal{H}\{x(t)\} \tag{3.31}$$

para um sistema analógico e

$$y[n] = \mathcal{H}\{x[n]\} \tag{3.32}$$

para um sistema discreto, onde  $\mathcal{H}\{\cdot\}$  denota o sistema.

Dentre todos os sistemas possíveis, tem-se classes de sistemas que são interessantes pelas propriedades que apresentam. Um sistema linear é um sistema que tem a propriedade:

$$\mathcal{H}\{ax_1(t) + bx_2(t)\} = a\mathcal{H}\{x_1(t)\} + b\mathcal{H}\{x_2(t)\} \tag{3.33}$$

para o caso contínuo e

$$\mathcal{H}\{ax_1[n] + bx_2[n]\} = a\mathcal{H}\{x_1[n]\} + b\mathcal{H}\{x_2[n]\} \tag{3.34}$$

para o caso discreto. Sistemas com essa propriedade tem a característica de, por exemplo, ao se dobrar a amplitude da entrada, dobrar-se também a amplitude da saída.

Um sistema invariante no tempo é um sistema que tem a propriedade:

$$\mathcal{H}\{x(t)\} = y(t) \Leftrightarrow \mathcal{H}\{x(t-t_0)\} = y(t-t_0) \tag{3.35}$$

para o caso contínuo e

$$\mathcal{H}\{x[n]\} = y[n] \Leftrightarrow \mathcal{H}\{x[n - n_0]\} = y[n - n_0] \quad (3.36)$$

para o caso discreto. Sistemas com essa propriedade tem a característica de ao se atrasar a entrada, atrasar-se também a saída pela mesma quantidade.

Sistemas que são lineares e invariantes no tempo podem ser tratados matematicamente de forma generalizada como se segue. Sendo  $\mathcal{H}\{\cdot\}$  um sistema linear e invariante no tempo, e como, de acordo com as equações 3.28 e 3.29, sinais podem ser representados por uma convolução com o impulso unitário, tem-se:

$$\begin{aligned} y(t) &= \mathcal{H}\{x(t) * \delta(t)\} = \mathcal{H}\left\{\int_{-\infty}^{+\infty} x(\tau)\delta(t - \tau)d\tau\right\} \\ &= \int_{-\infty}^{+\infty} x(\tau)\mathcal{H}\{\delta(t - \tau)\}d\tau \\ &= \int_{-\infty}^{+\infty} x(\tau)h(t - \tau)d\tau \\ &= x(t) * h(t) \end{aligned} \quad (3.37)$$

para o caso contínuo e

$$\begin{aligned} y[n] &= \mathcal{H}\{x[n] * \delta[n]\} = \mathcal{H}\left\{\sum_{k=-\infty}^{+\infty} x[k]\delta[n - k]\right\} \\ &= \sum_{k=-\infty}^{+\infty} x[k]\mathcal{H}\{\delta[n - k]\} \\ &= \sum_{k=-\infty}^{+\infty} x[k]h[n - k] \\ &= x[n] * h[n] \end{aligned} \quad (3.38)$$

para o caso discreto. Nas equações 3.37 e 3.38,  $h(t)$  e  $h[n]$  representam a resposta do sistema a um impulso unitário. Assim, um sistema linear e invariante no tempo pode ser descrito totalmente por sua resposta ao impulso.

No domínio da frequência, o teorema da convolução 3.30 fornece:

$$Y(s) = \mathcal{L}\{x(t) * h(t)\} = X(s)H(s) \quad (3.39)$$

para um sistema analógico e

$$Y(z) = \mathcal{Z}\{x[n] * h[n]\} = X(z)H(z) \quad (3.40)$$

para um sistema discreto. Chama-se  $H(s)$  e  $H(z)$  a função de transferência do sistema  $\mathcal{H}\{\cdot\}$ .



### 3.5 Filtros digitais

Em geral, um filtro digital é um sistema discreto cujo objetivo é destacar ou reduzir determinadas características de um sinal. Neste trabalho serão abordados filtros digitais lineares e invariantes no tempo.

Filtros não-recursivos são caracterizados por uma equação de diferenças do tipo:

$$y[n] = \sum_{k=0}^M b_k x[n-k] \quad (3.41)$$

onde os coeficientes  $b_k$  estão diretamente relacionados à resposta ao impulso do sistema, ou seja,  $b_k = h[k]$ . Aplicando a transformada Z, tem-se que a função de transferência do sistema é dada por:

$$H(z) = \frac{Y(z)}{X(z)} = \sum_{k=0}^M b_k z^{-k} \quad (3.42)$$

Devido ao fato de a resposta ao impulso deste sistema ser de duração finita, filtros não-recursivos são também conhecidos como filtros de resposta ao impulso finito (FIR, do inglês *finite impulse response*).

Filtros recursivos, por outro lado, são caracterizados por uma equação de diferenças do tipo:

$$y[n] = \sum_{k=0}^M b_k x[n-k] - \sum_{k=1}^N a_k y[n-k] \quad (3.43)$$

Aplicando a transformada Z, tem-se:

$$Y(z) = \sum_{k=0}^M b_k X(z) z^{-k} - \sum_{k=1}^N a_k Y(z) z^{-k} \quad (3.44)$$

de onde, ao se rearranjar, obtém-se:

$$Y(z) \left( 1 + \sum_{k=1}^N a_k z^{-k} \right) = X(z) \left( \sum_{k=0}^M b_k z^{-k} \right) \quad (3.45)$$

ou seja,

$$H(z) = \frac{Y(z)}{X(z)} = \frac{\sum_{k=0}^M b_k z^{-k}}{1 + \sum_{k=1}^N a_k z^{-k}} \quad (3.46)$$

é a função de transferência do sistema. Filtros recursivos, pelo fato de que a saída do sistema depende de saídas passadas, apresentam uma resposta ao impulso de duração infinita, dessa forma são também conhecidos como filtros de resposta ao impulso infinito (IIR, do inglês *infinite impulse response*).

Neste trabalho serão abordados projetos de filtros digitais por métodos de otimização como *Least Squares* [4], o algoritmo de Remez [5] e a transformação bilinear [3] aplicada aos clássicos filtros de Butterworth, Chebyshev, Cauer e Bessel.

# Capítulo 4

## Metodologia

O principal objetivo deste trabalho foi o desenvolvimento de uma aplicação com interface gráfica para projeto de filtros digitais. Neste capítulo, serão apresentados detalhes sobre a elaboração do software.

A ferramenta foi desenvolvida em Python 3 [6], utilizando as bibliotecas GTK [7, 8], para interface gráfica, NumPy [9] para computação numérica eficiente, SciPy [10] para projeto dos filtros e Matplotlib [11] para visualização de dados. O código foi escrito totalmente pelo autor, de forma modular, facilitando modificações e a inclusão de novas funcionalidades, estando disponível publicamente no Github [12]. Instruções de instalação estão inclusas no README do repositório.

O programa foi estruturado na seguinte hierarquia:

- `main.py`, é o módulo principal responsável por montar toda a aplicação;
- `fdatool/utils.py`, apresenta utilitários para conversão entre diferentes unidades de medida de frequência (Hz, kHz, MHz e GHz) e amplitude (dB, V e W), bem como uma classe representando eventos que podem ocorrer durante a execução do programa, permitindo o registro de callbacks;
- `fdatool/widgets/inputs.py`, constrói os componentes de entrada de dados da aplicação, adicionando controle de estado aos mesmos;
- `fdatool/widgets/specs.py`, trata dos componentes de especificações de frequência e amplitude;
- `fdatool/widgets/common.py`, contém componentes gráficos recorrentes como botões e componente para seleção de ordem dos filtros;
- `fdatool/widgets/figures.py`, onde são construídos os gráficos da aplicação;
- `fdatool/filters/firls.py`, este módulo implementa os filtros FIR utilizando o método Least Squares;

- `fdatool/filters/remez.py`, cuja função é o projeto de filtros FIR pelo algoritmo de Remez;
- `fdatool/filters/iir.py`, contém os filtros IIR clássicos que são discretizados pela transformação bilinear;
- `fdatool/filters/factory.py`, permite a obtenção de um dos métodos de projeto por meio de uma fábrica [13].

O software foi escrito levando em consideração padrões de projeto [13] como *decorator*, *observer*, *state* e *factory method*, sendo adaptados pelo autor de modo a harmonizar com o ecossistema Python.

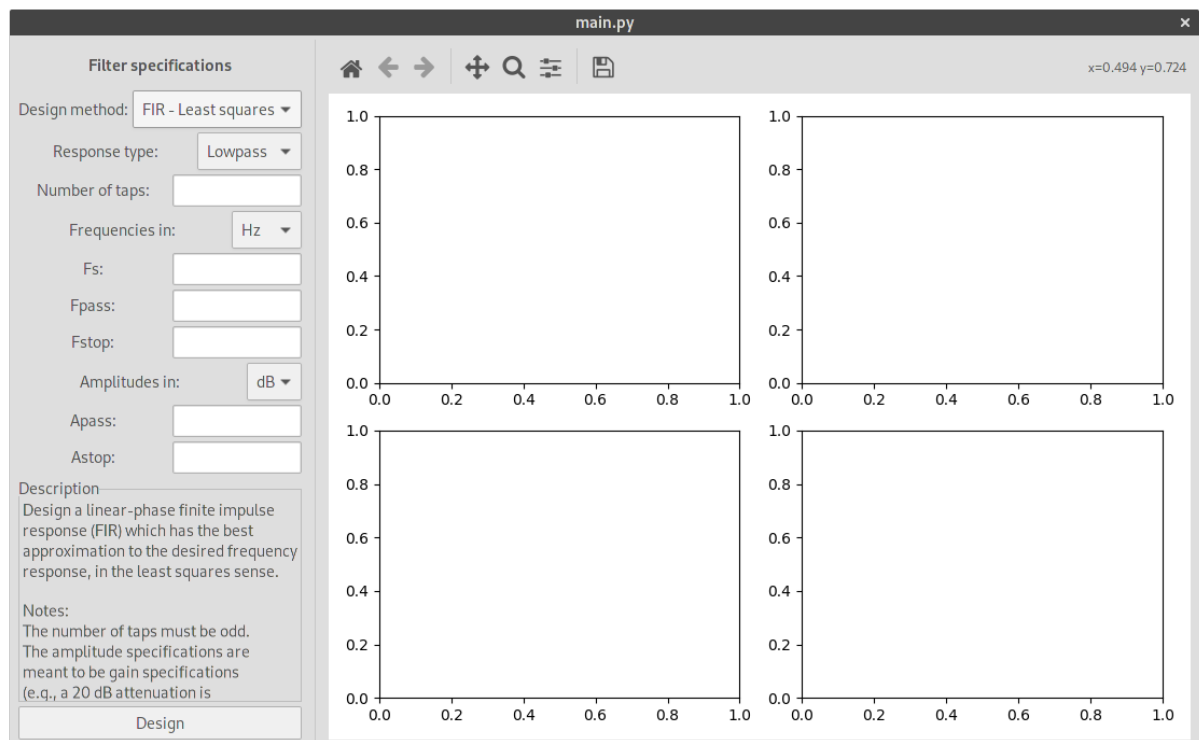
# Capítulo 5

## Resultados

Neste capítulo será apresentada a aplicação desenvolvida, bem como sua forma de uso. Ainda, será realizado o projeto de alguns filtros utilizando a ferramenta construída. Os filtros terão frequência de amostragem de 44.1 kHz, frequência típica de áudio digital com qualidade de CD.

A tela inicial do programa é mostrada na Figura 5.1. O sistema consiste de duas seções: as especificações do filtro a ser projetado e os gráficos que mostram os resultados do processo.

Figura 5.1: Tela inicial da ferramenta desenvolvida.



Fonte: Autoria própria.

A utilização do sistema começa pela escolha de um método de projeto, sendo que cada método possui características próprias e até mesmo a interface do sistema muda de acordo para acomodar cada metodologia. Ainda, cada método conta com uma breve descrição de seu funcionamento e observações a respeito da forma de utilização. Os métodos de projeto de filtros FIR utilizando o Least Squares e o algoritmo de Remez apresentam uma descrição bastante semelhante, porém diferem quanto ao seu princípio de funcionamento: enquanto o Least Squares realiza o projeto a partir da minimização do erro quadrático médio [4], o algoritmo de Remez minimiza o erro máximo [5].

Em seguida, faz-se necessária a escolha de um tipo de resposta para o filtro: passa-baixas, passa-altas, passa-faixa ou rejeita-faixa. Dependendo do tipo selecionado, serão exibidas entradas correspondentes para a correta descrição do filtro desejado. Na sequência, deve-se então fazer a especificação em frequência e em amplitude, de acordo com as unidades escolhidas.

A partir de todas as especificações, ao clicar no botão *Design*, o filtro será projetado e os resultados exibidos nos quatro gráficos que apresentam a resposta em frequência (amplitude e fase), polos e zeros da função de transferência e a resposta ao impulso do sistema.

Com um filtro projetado também é habilitada uma opção para exportação do filtro utilizando Pickle [14], que permite serializar um objeto do Python em um arquivo que pode ser posteriormente carregado e usado em qualquer aplicação Python. O objeto exportado trata-se de uma instância da classe `scipy.signal.dlti` [10], o que permite a filtragem de sinais e a obtenção das diversas características do filtro, tais como sua função de transferência, resposta em frequência e resposta ao impulso.

Nas próximas seções serão detalhados cada um dos métodos de projeto de filtros digitais oferecidos pela plataforma, mostrando a forma pela qual as especificações devem ser feitas, bem como os resultados obtidos. Cada filtro projetado será também exportado no formato `.pickle` e utilizado para efetivamente filtrar alguns sinais sintetizados programaticamente.

## 5.1 Filtros FIR pelo método Least Squares

Para desenvolver um filtro passa-baixas com 55 taps (coeficientes) cuja banda passante vai até 8 kHz, tendo ganho unitário (0 dB), e a banda rejeitada iniciando em 9 kHz, com atenuação de 20 dB (um ganho de -20 dB), a especificação do filtro seria como mostra a Figura 5.2.

Figura 5.2: Especificação de um filtro passa-baixas usando Least Squares.

**Filter specifications**

Design method:

Response type:

Number of taps:

Frequencies in:

Fs:

Fpass:

Fstop:

Amplitudes in:

Apass:

Astop:

Description

Design a linear-phase finite impulse response (FIR) which has the best approximation to the desired frequency response, in the least squares sense.

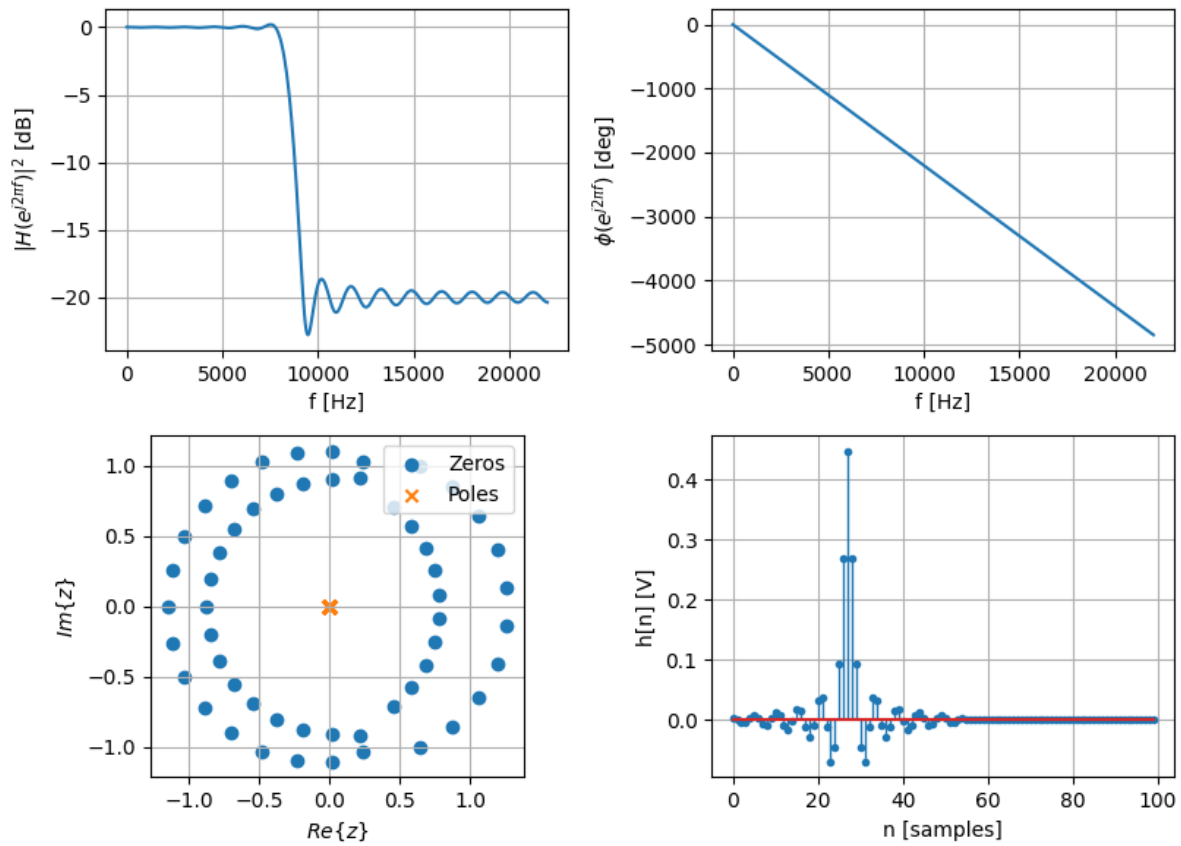
Notes:

The number of taps must be odd.  
The amplitude specifications are meant to be gain specifications (e.g., a 20 dB attenuation is specified as -20 dB).

Fonte: Autoria Própria

Os resultados obtidos para estas especificações podem ser visualizados na Figura 5.3

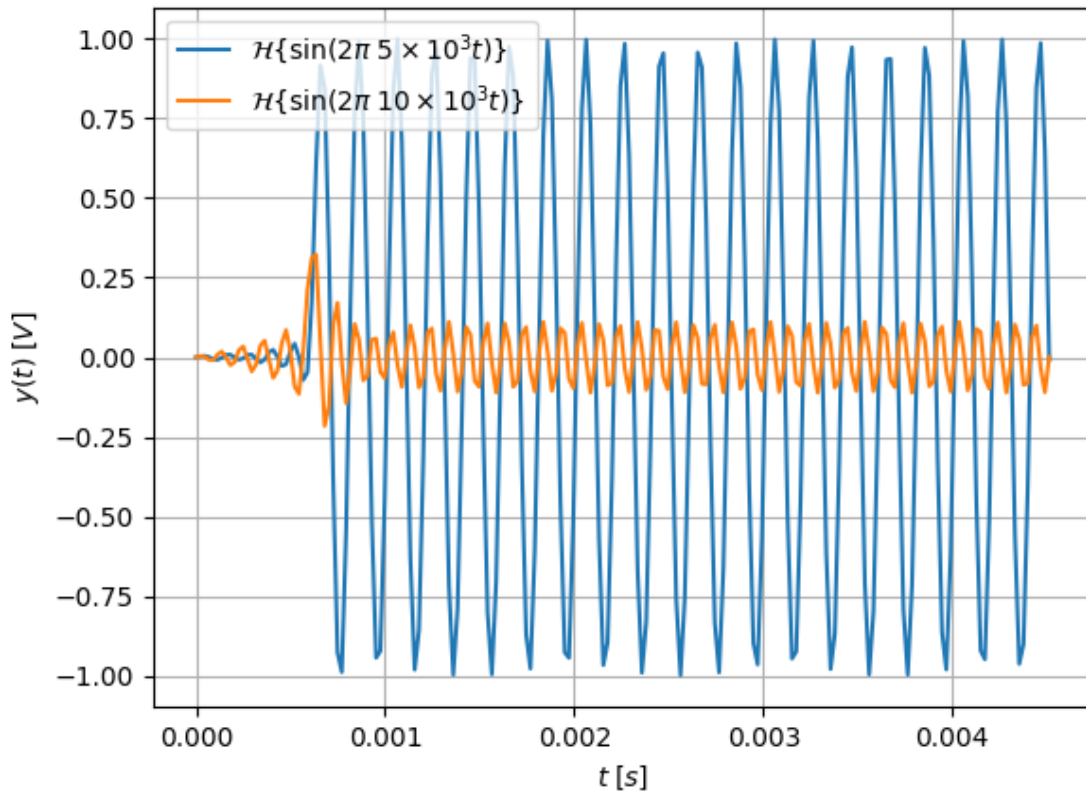
Figura 5.3: Resultados do filtro passa-baixas utilizando Least Squares.



Fonte: Autoria Própria

Exportando o filtro e aplicando-o a um tom de 5 kHz e um de 10kHz, pode-se observar o efeito da filtragem na Figura 5.4.

Figura 5.4: Aplicação do filtro passa-baixas a dois tons.



Fonte: Autoria Própria

Pode-se perceber que as características desejadas no filtro foram implementadas com sucesso observando sua resposta em frequência na Figura 5.3. Quanto aos dois tons sintetizados e filtrados, nota-se que o tom de 5 kHz passa praticamente sem sofrer atenuações, enquanto o tom de 10 kHz é reduzido drasticamente. Também é possível notar um atraso na saída do filtro, o que é decorrente do tamanho do mesmo (55 coeficientes), sendo também esperado quando se leva em conta a fase da resposta em frequência, que apresenta uma inclinação elevada.

## 5.2 Filtros FIR pelo algoritmo de Remez

Supondo que se deseje projetar um filtro passa-faixa com 55 taps, cuja banda passante vai de 5 kHz a 15 kHz, com ganho unitário (0 dB), e bandas rejeitadas com 1 kHz de transição e atenuações de 20 dB (ganho de -20 dB), então a especificação do filtro deve ser feita de acordo com a Figura 5.5.



Figura 5.5: Especificação de um filtro passa-faixa usando o algoritmo de Remez.

**Filter specifications**

Design method: FIR - Remez ▾

Response type: Bandpass ▾

Number of taps:

Frequencies in: kHz ▾

Fs:

Fstop1:

Fpass1:

Fpass2:

Fstop2:

Amplitudes in: dB ▾

Astop1:

Apass1:

Apass2:

Astop2:

Description

Design the finite impulse response (FIR) filter whose transfer function

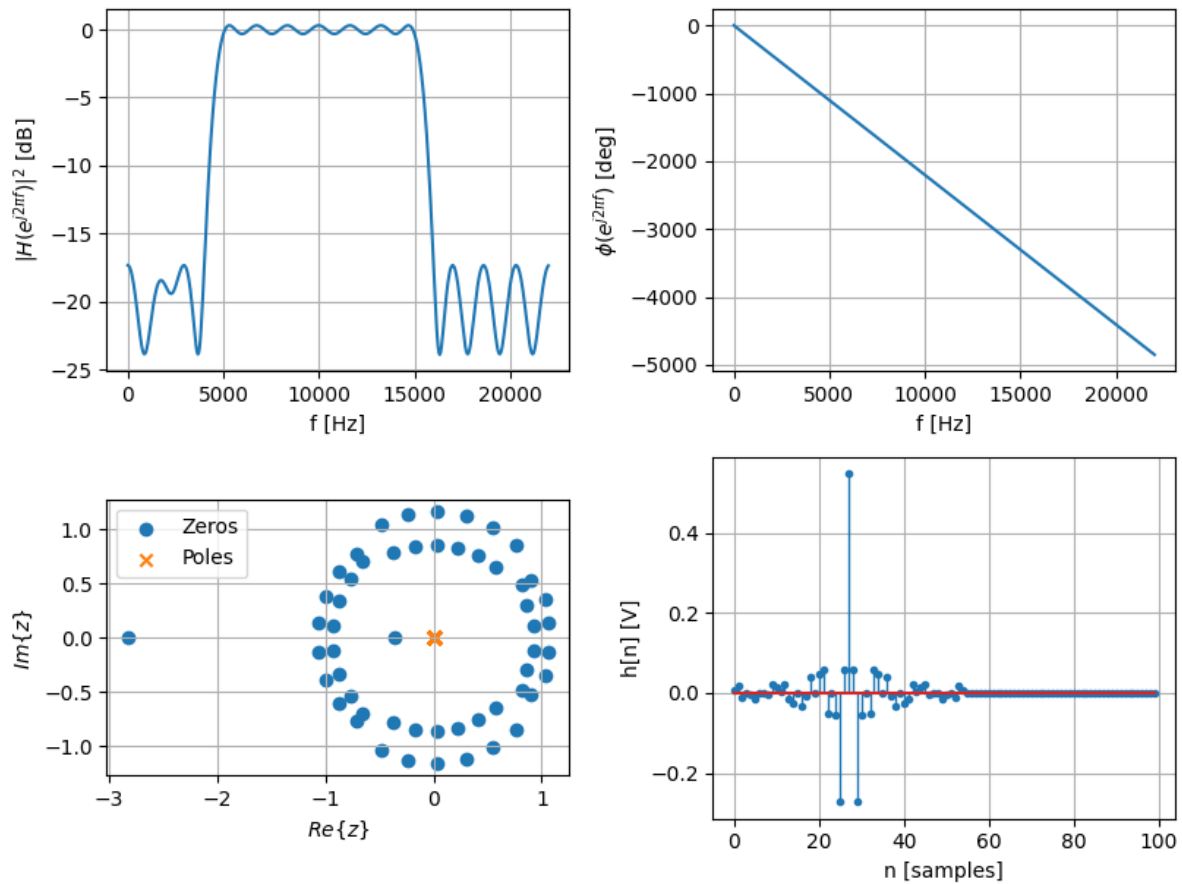
Design

Export

Fonte: Autoria Própria

Para este filtro, os resultados obtidos podem ser vistos na Figura 5.6.

Figura 5.6: Resultados do filtro passa-faixa utilizando o algoritmo de Remez.

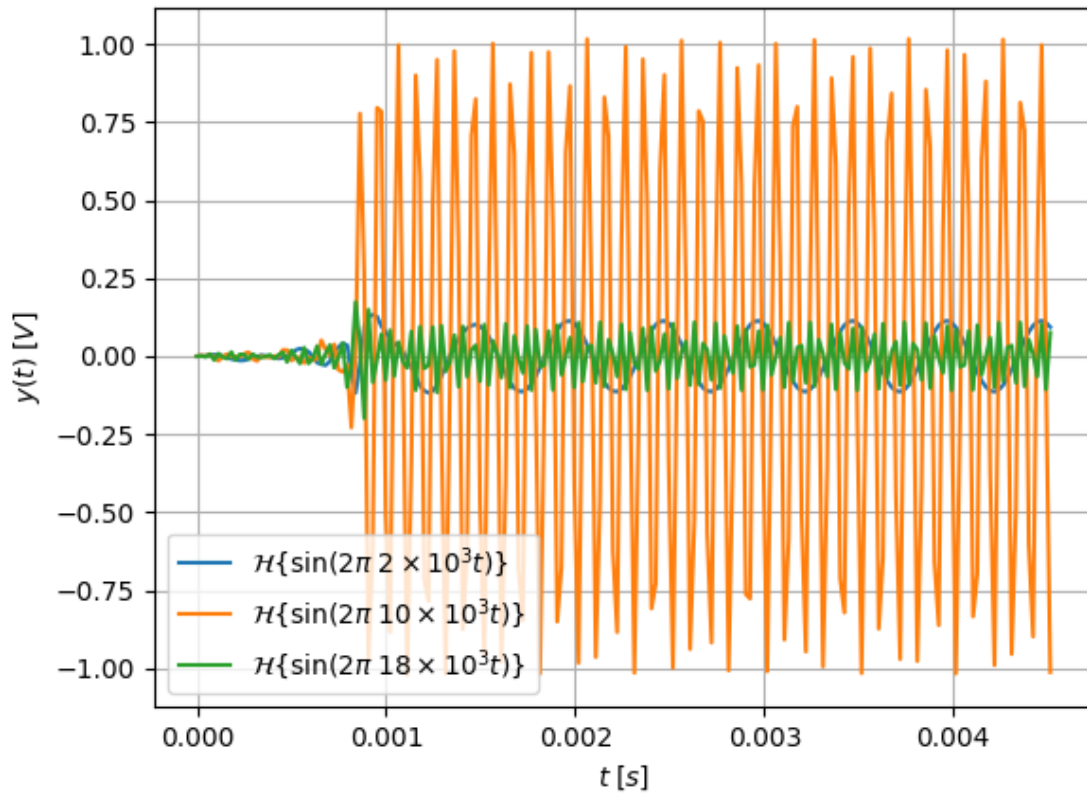


Fonte: Autoria Própria

Aqui, fica evidenciado que o filtro projetado está de acordo com as especificações propostas, sendo possível observar uma característica específica do algoritmo de Remez: a amplitude da resposta em frequência apresenta *ripples* de igual amplitude, motivo pelo qual estes filtros também são conhecidos como filtros *equiripple*.

A aplicação do filtro obtido a tons de 2 kHz, 10 kHz e 18 kHz resulta na Figura 5.7. Para os três tons processados pelo filtro é observada a passagem do tom de 10 kHz, que está dentro da banda passante, enquanto as frequências de 2 kHz e 18 kHz são atenuadas.

Figura 5.7: Aplicação do filtro passa-faixa a três tons.



Fonte: Autoria Própria

### 5.3 Filtros IIR

Para os filtros IIR, existe a possibilidade de projetar o filtro de acordo com especificações bem definidas em relação a resposta desejada bem como de definir a ordem do filtro diretamente. Ao especificar um filtro de ordem mínima, será construído um filtro com a mínima ordem necessária para atingir as especificações.

No caso de um filtro passa-altas Butterworth de ordem 8 com frequência de corte de 8 kHz, a descrição do filtro seria feita como na Figura 5.8.

Figura 5.8: Especificação de um filtro passa-altas de Butterworth.

**Filter specifications**

Design method: IIR

Response type: Highpass

Filter type: Butterworth

Filter order: 8 ☐ Minimum

Frequencies in: kHz

Fs: 44.1

Fc: 8

Description

Design an infinite impulse response (IIR) filter.

Notes:  
The amplitude specifications, when requested, are meant to be given as:  
Gpass: the maximum loss in the passband,  
Gstop: the minimum attenuation in the stopband,  
Rpass: the maximum ripple in the passband,  
Rstop: the minimum attenuation in the stopband.

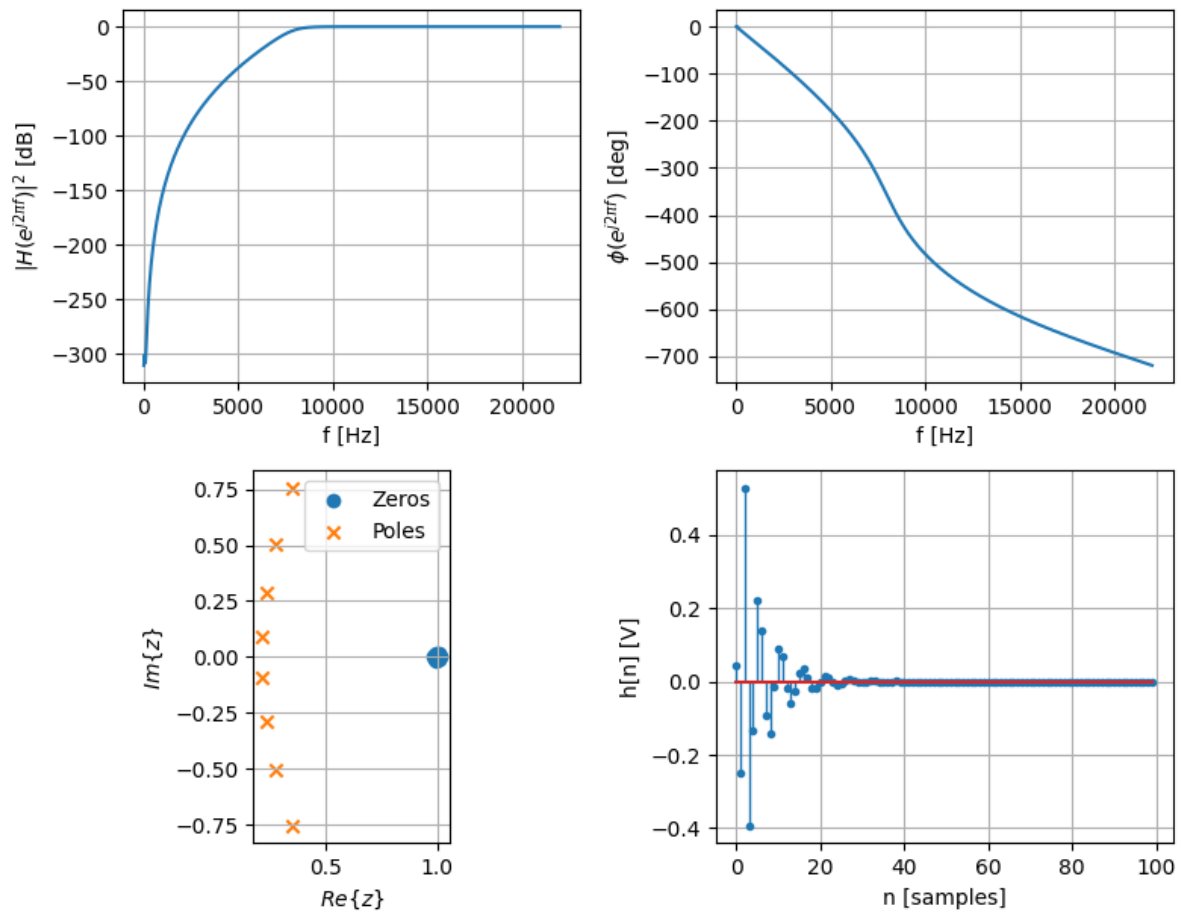
Design

Export

Fonte: Autoria Própria

O filtro projetado apresenta as características exibidas na Figura 5.9. Como é esperado de um filtro Butterworth, tem-se que a amplitude da resposta em frequência do filtro obtido é extremamente plana na banda de passagem.

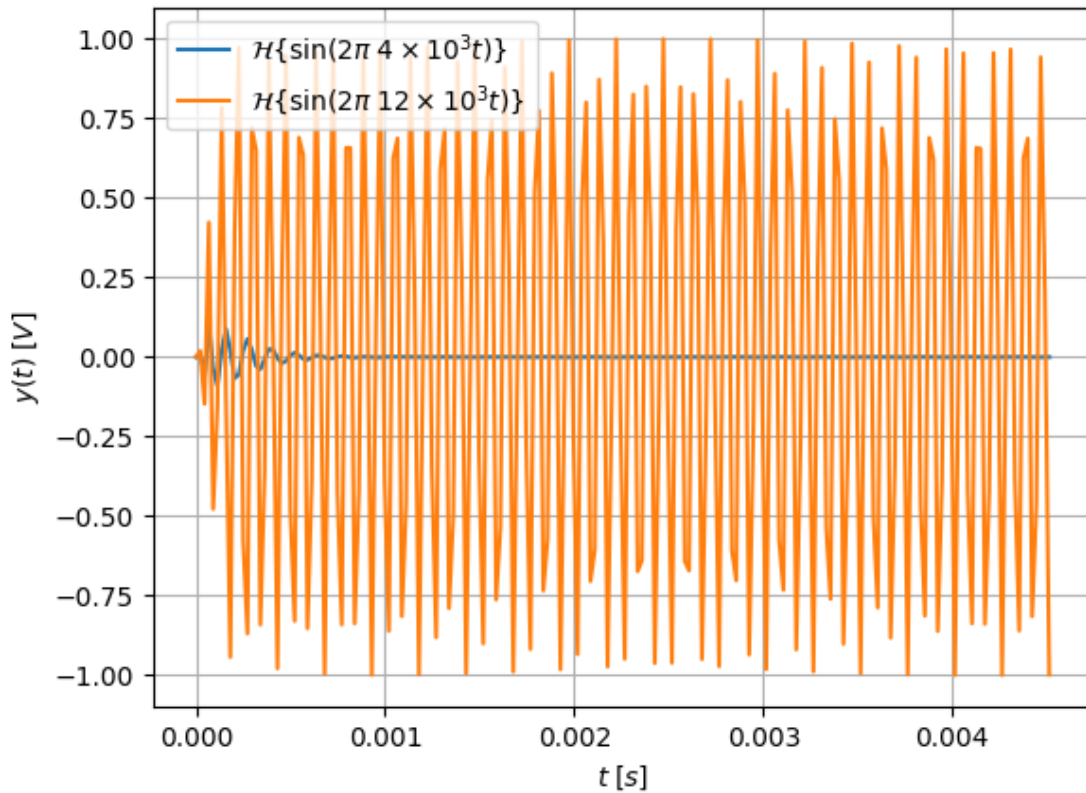
Figura 5.9: Resultados do filtro passa-altas de Butterworth.



Fonte: Autoria Própria

Utilizando o filtro para processar um tom de 4 kHz e um de 12 kHz, obtem-se os resultados mostrados na Figura 5.10.

Figura 5.10: Aplicação do filtro passa-altas a dois tons.



Fonte: Autoria Própria

Neste caso, a grande atenuação proporcionada pelo filtro faz com que o tom de 4 kHz seja praticamente eliminado na saída do mesmo, enquanto o tom de 12 kHz pode passar sem problemas. Vale destacar aqui o pequeno atraso introduzido pelo filtro, em relação aos filtros apresentados até então, devido a fase de sua resposta em frequência ter uma inclinação consideravelmente menor. Isto se dá em grande parte pela diferença no número de coeficientes ou ordem dos filtros considerados.

Já para um filtro rejeita-faixa de ordem mínima cuja banda rejeitada vai de 4 kHz a 8 kHz, com 500 Hz de faixa de transição, uma atenuação de 20 dB na banda rejeitada e atenuação máxima de 3 dB na banda passante, as especificações seriam como na Figura 5.11.

Figura 5.11: Especificação de um filtro rejeita-faixa de Cauer.

### Filter specifications

Design method: IIR

Response type: Bandstop

Filter type: Cauer / Elliptic

Filter order:  ☒ Minimum

Frequencies in: kHz

Fs: 44.1

Fpass1: 3.5

Fstop1: 4

Fstop2: 8

Fpass2: 8.5

Amplitudes in: dB

Gpass: 3

Gstop: 20

**Description**

Design an infinite impulse response (IIR) filter.

**Notes:**  
 The amplitude specifications, when requested, are meant to be given as:  
 Gpass: the maximum loss in the passband,  
 Gstop: the minimum attenuation in the stopband,  
 Rpass: the maximum ripple in the passband,  
 Rstop: the minimum attenuation in the stopband.

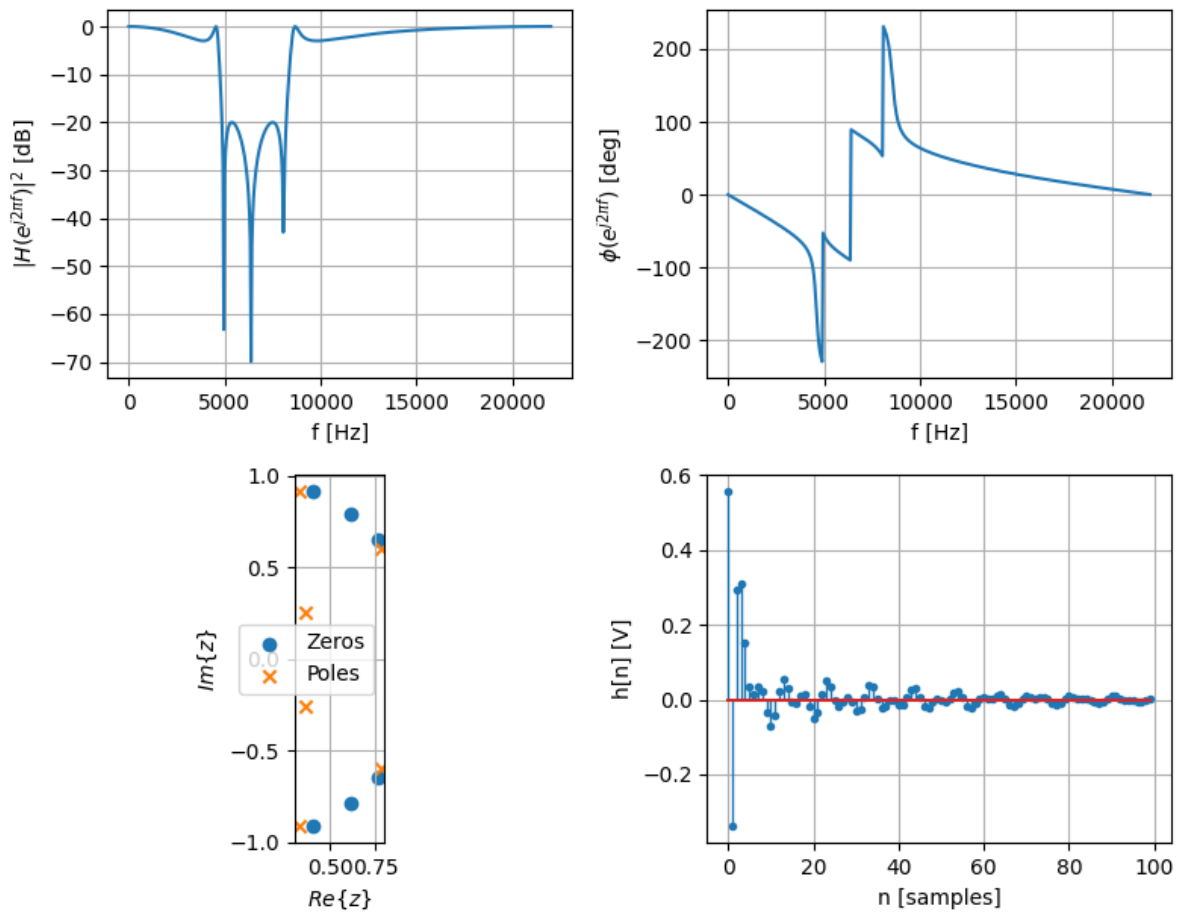
Design

Export

Fonte: Autoria Própria

Os resultados obtidos para este filtro podem ser vistos na Figura 5.12.

Figura 5.12: Resultados do filtro rejeita-faixa de Cauer.



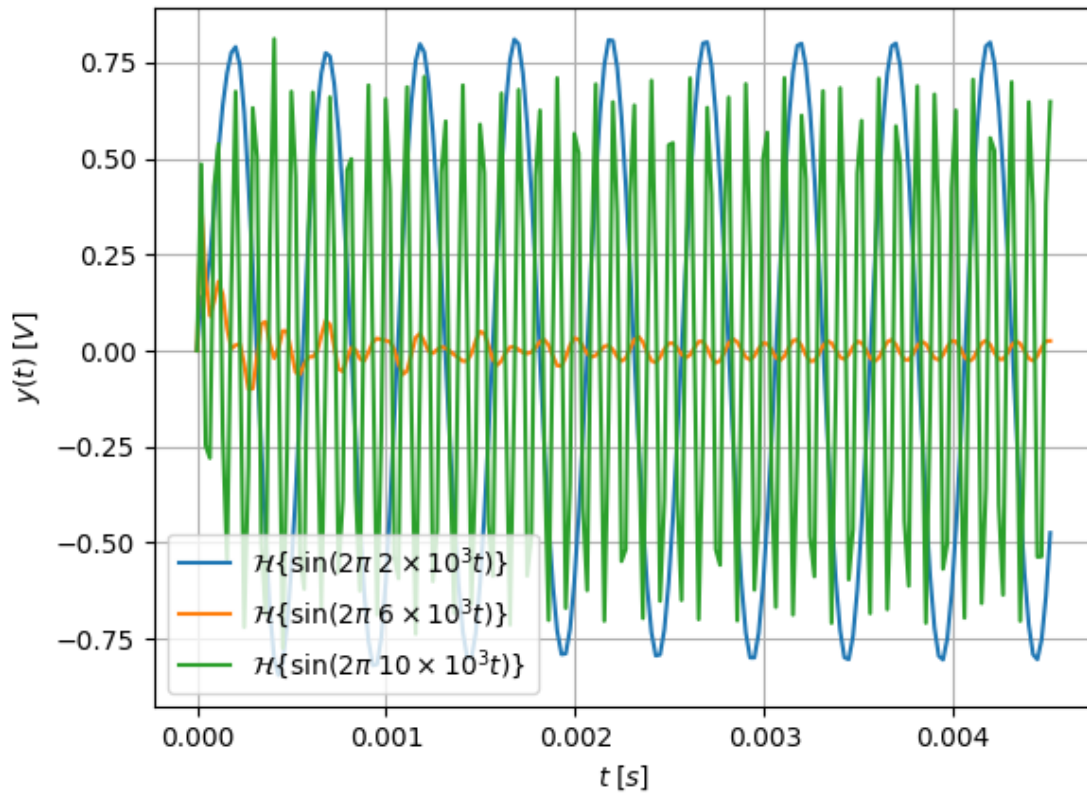
Fonte: Autoria Própria

É possível observar que as características esperadas pelo filtro de Cauer foram obtidas, sendo respeitadas as atenuações mínima de 20 dB na banda rejeitada e máxima de 3 dB na banda passante. Nota-se ainda que a atenuação pode atingir valores bastante elevados, alcançando até 70 dB.

Aplicando o filtro desenvolvido a tons de 2 kHz, 6 kHz e 10 kHz, obtém-se a Figura 5.13.



Figura 5.13: Aplicação do filtro rejeita-faixa a três tons.



Fonte: Autoria Própria

Os tons processados pelo filtro de Cauer mostram bem a atenuação de 3 dB nas frequências de 2 kHz e 10 kHz, resultando em amplitudes de aproximadamente 0.7, enquanto que o tom de 6 kHz foi fortemente atenuado.

# Capítulo 6

## Conclusão

Devido à dificuldade de visualização no aprendizado de processamento de sinais imposta pelo elevado grau de abstração envolvido no formalismo matemático da teoria abrangida, foi desenvolvido neste trabalho uma ferramenta capaz de realizar o projeto de filtros digitais segundo métodos clássicos da literatura. A plataforma construída contempla filtros FIR utilizando o método Least Squares e o algoritmo de Remez, sendo também tratados os clássicos filtros IIR de Butterworth, Chebyshev I e II, Cauer e Bessel. A aplicação é também capaz de fornecer diversos gráficos com intuito de permitir a visualização das principais características dos filtros projetados, como sua resposta em frequência, a localização de seus polos e zeros no plano complexo e sua resposta ao impulso. Por fim, tem-se ainda a funcionalidade de exportar o filtro construído para um arquivo em formato `.pickle` para a utilização em outras aplicações Python.

Com a possibilidade de realizar o projeto de filtros digitais por meio de interface gráfica amigável, a plataforma desenvolvida cumpre com o objetivo de tornar o processo mais prático para o projetista de filtros, bem como capacita o aluno com uma ferramenta alternativa e open-source durante o aprendizado do tópico de processamento de sinais.

### 6.1 Trabalhos futuros

Possíveis melhorias foram identificadas para trabalhos futuros, tais quais:

- funcionalidade para permitir a filtragem de sinais diretamente pela plataforma;
- adição de outros formatos de exportação (`.json`, `.csv`, `.mat`, etc);
- implementação de especificações mais complexas para filtros FIR, como filtros de Hilbert e até mesmo filtros multibandas;
- possibilidade de edição dos polos e zeros do filtro graficamente;

- processamento em tempo real de sinais captados via interface serial com o filtro projetado.

Ainda, devido a natureza também didática da ferramenta desenvolvida, o *feedback* de alunos a respeito de sua utilização pode no futuro apontar para melhorias de *layout* que tornem a plataforma mais intuitiva.

# Capítulo 7

## Bibliografia

- [1] Alan V. Oppenheim, Ronald W. Schafer e John R. Buck. *Discrete-Time Signal Processing*. 2ª ed. Prentice Hall, 31 de dez. de 1998. ISBN: 0-13-754920-2.
- [2] B. P. Lathi e Zhi Ding. *Modern Digital and Analog Communication Systems*. 4ª ed. Oxford University Press, 2 de jul. de 2009. ISBN: 978-0-19-538493-2.
- [3] Paulo S. R. Diniz, Eduardo A. B. da Silva e Sergio L. Netto. *Digital Signal Processing*. 2ª ed. Cambridge University Press, set. de 2010. ISBN: 978-0521887755.
- [4] Ivan Selesnick. *Linear-Phase FIR Filter Design by Least Squares*. OpenStax CNX, 9 de ago. de 2005. URL: <https://cnx.org/contents/eb1ecb35-03a9-4610-ba87-41cd771c95f2@7> (acesso em 07/05/2021).
- [5] J. McClellan e T. Parks. “A unified approach to the design of optimum FIR linear-phase digital filters”. Em: *IEEE Transactions on Circuit Theory* 20.6 (1973), pp. 697–701. DOI: 10.1109/TCT.1973.1083764.
- [6] *Python*. URL: <https://www.python.org> (acesso em 07/05/2021).
- [7] *The GTK Project - A free and open-source cross-platform widget toolkit*. URL: <https://www.gtk.org> (acesso em 07/05/2021).
- [8] *The Python GTK+ 3 Tutorial*. URL: <https://python-gtk-3-tutorial.readthedocs.io/en/latest/> (acesso em 07/05/2021).
- [9] *The fundamental package for scientific computing with Python*. URL: <https://numpy.org> (acesso em 07/05/2021).
- [10] *Scientific computing tools for Python*. URL: <https://www.scipy.org/about.html> (acesso em 07/05/2021).
- [11] *Matplotlib: Visualization with Python*. URL: <https://matplotlib.org> (acesso em 07/05/2021).
- [12] URL: <https://github.com/mateusosmarin/tcc> (acesso em 07/05/2021).

- [13] Erich Gamma et al. *Design Patterns. Elements of Reusable Object-Oriented Software*. Addison-Wesley Professional, 21 de out. de 1994. ISBN: 978-0201633610.
- [14] *Python Object Serialization*. URL: <https://docs.python.org/3/library/pickle.html> (acesso em 07/05/2021).

## Capítulo 8

# Apêndice - Demonstração de uso do filtro exportado

```
1 import pickle
2
3 import matplotlib.pyplot as plt
4 import numpy as np
5 from scipy import signal
6
7 # Nome do arquivo do filtro exportado
8 filename = "filter.pickle"
9
10 # O arquivo deve ser aberto para leitura em formato binario (rb)
11 with open(filename, "rb") as file:
12     # O metodo pickle.load permite carregar o objeto serializado
13     tf = pickle.load(file)
14
15 # Obtem o periodo e frequencia de amostragem definidos no filtro
16 Ts = tf.dt
17 fs = 1 / Ts
18
19 # Constroi um vetor de tempo amostrado em Ts
20 t = np.arange(0, 200 * Ts, Ts)
21
22 # Sintetiza dois tons de frequencias 10 kHz e 1 kHz
23 x1 = np.sin(2 * np.pi * 10e3 * t)
24 x2 = np.sin(2 * np.pi * 1e3 * t)
25
26 # Aplica-se o filtro utilizando o metodo tf.output
27 t, y1 = tf.output(x1, t)
28 t, y2 = tf.output(x2, t)
29
30 # Obtem a resposta em frequencia do filtro
31 f, h = signal.freqz(tf.num, tf.den, fs=fs)
```

```

32
33 # Calcula a amplitude da resposta em dB
34 mag = 20 * np.log(np.abs(h))
35 # Calcula a fase da resposta em graus
36 phase = np.degrees(np.unwrap(np.angle(h)))
37
38 fig, axes = plt.subplots(2, 1)
39 fig.canvas.set_window_title("Resposta em frequencia")
40
41 # Cria figura para amplitude da resposta em frequencia
42 axes[0].plot(f, mag)
43 axes[0].set_xlabel(r"$f$ [Hz]")
44 axes[0].set_ylabel(r"$|H(\mathrm{i} \ 2 \ \pi f)|^2$ [dB]")
45 axes[0].grid(True)
46
47 # Cria figura para fase da resposta em frequencia
48 axes[1].plot(f, phase)
49 axes[1].set_xlabel(r"$f$ [Hz]")
50 axes[1].set_ylabel(r"$\angle H(\mathrm{i} \ 2 \ \pi f)$ [deg]")
51 axes[1].grid(True)
52
53 fig.tight_layout()
54
55 # Exibe sinais sintetizados
56 plt.figure("Sinais sintetizados")
57 plt.plot(t, x1, label=r"$\sin(2 \ \pi \ 10 \ \times 10^3 t)$")
58 plt.plot(t, x2, label=r"$\sin(2 \ \pi \ 1 \ \times 10^3 t)$")
59 plt.xlabel(r"$t$ [s]")
60 plt.ylabel(r"$x(t)$")
61 plt.grid(True)
62 plt.legend()
63
64 # Exibe sinais filtrados
65 plt.figure("Sinais filtrados")
66 plt.plot(t, y1,
67          label=r"$\mathcal{H}\{\sin(2 \ \pi \ 10 \ \times 10^3 t)\}$")
68 plt.plot(t, y2,
69          label=r"$\mathcal{H}\{\sin(2 \ \pi \ 1 \ \times 10^3 t)\}$")
70 plt.xlabel(r"$t$ [s]")
71 plt.ylabel(r"$y(t)$")
72 plt.grid(True)
73 plt.legend()
74
75 plt.show()

```